

Estudo Químico e Avaliação do Potencial Antioxidante do Alburno de *Vatairea guianensis* Aubl.

Souza, R. F.;* Silva, J. K. R.; Silva, G. A.; Arruda, A. C.; Silva, M. N.; Arruda, M. S. P.

Rev. Virtual Quim., 2015, 7 (5), S1-S14. Data de publicação na Web: 15 de setembro de 2015

<http://www.uff.br/rvq>

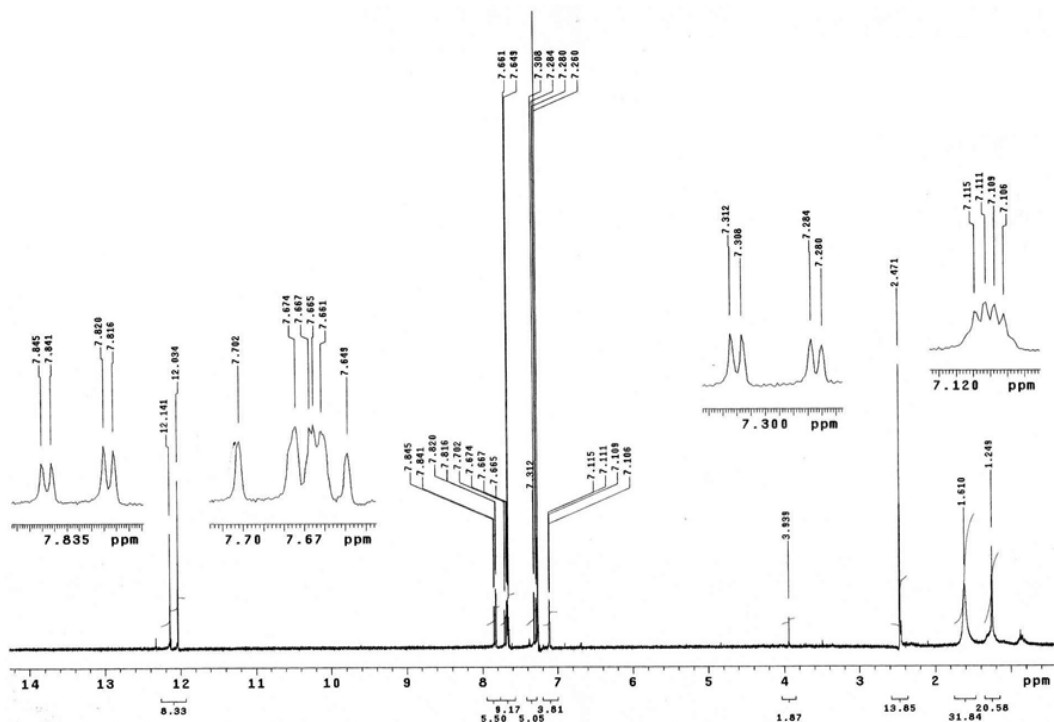


Figura 1S. Espectro de RMN ^1H de **1**, 300 MHz, CDCl_3

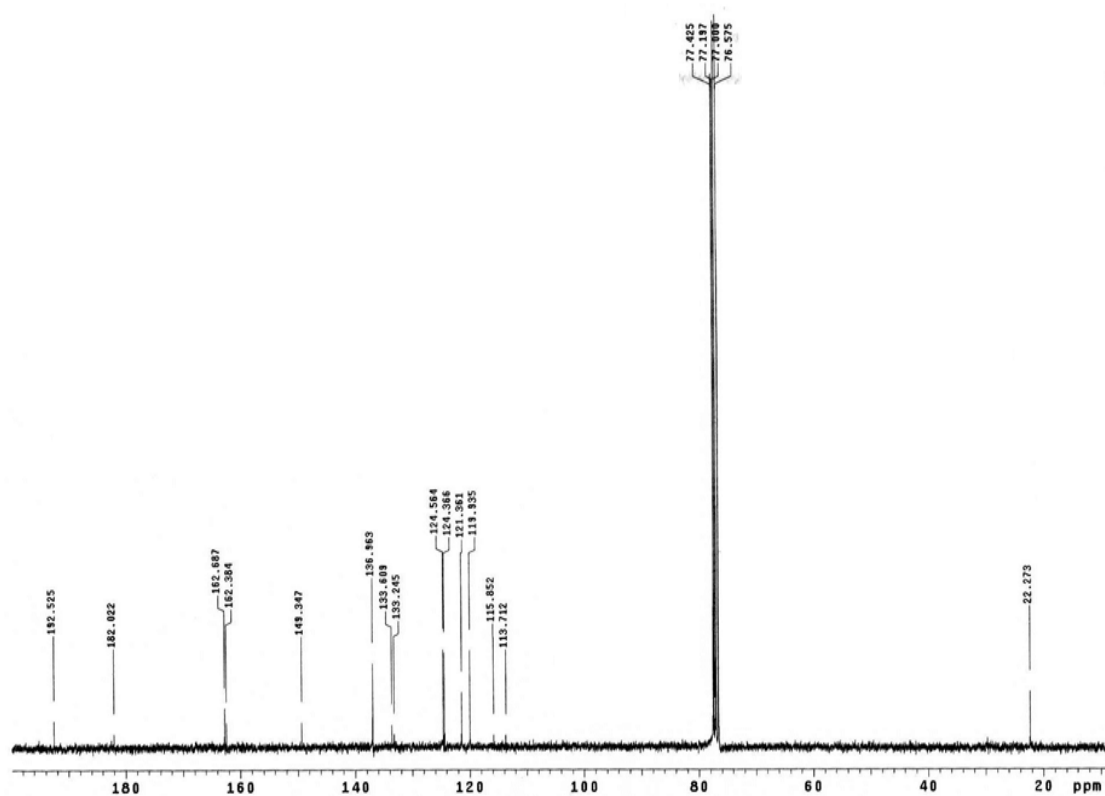


Figura 2S. Espectro de RMN ^{13}C de **1**, 75 MHz, CDCl_3

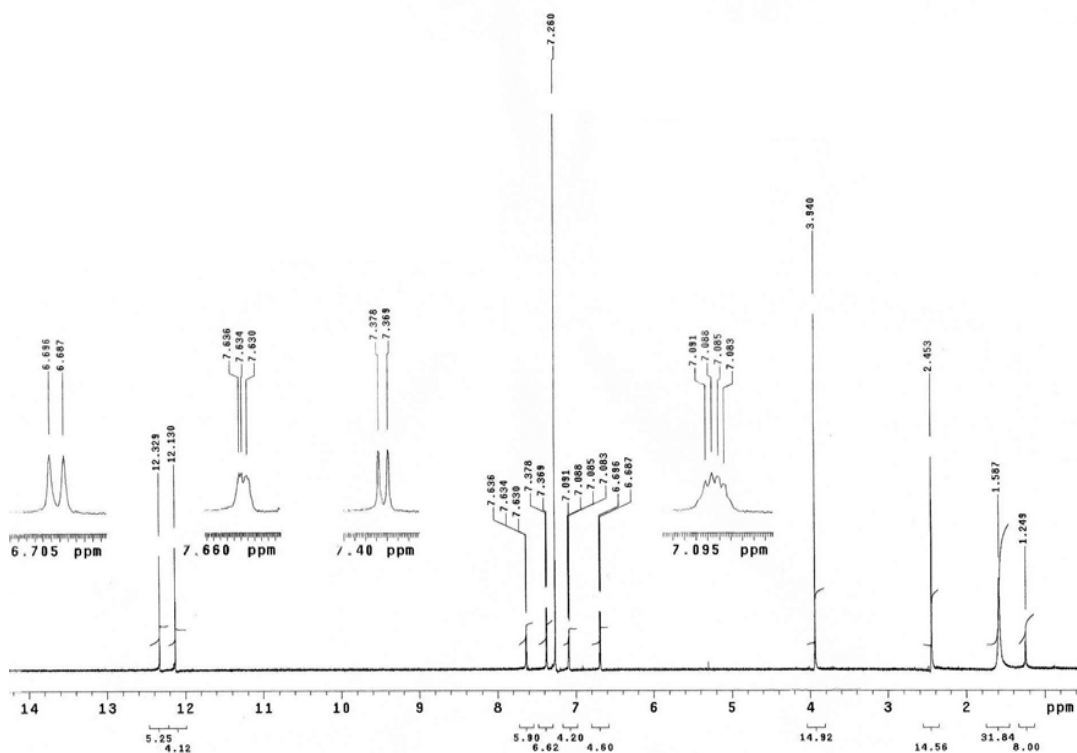


Figura 3S. Espectro de RMN ^1H de **2**, 300 MHz, CDCl_3

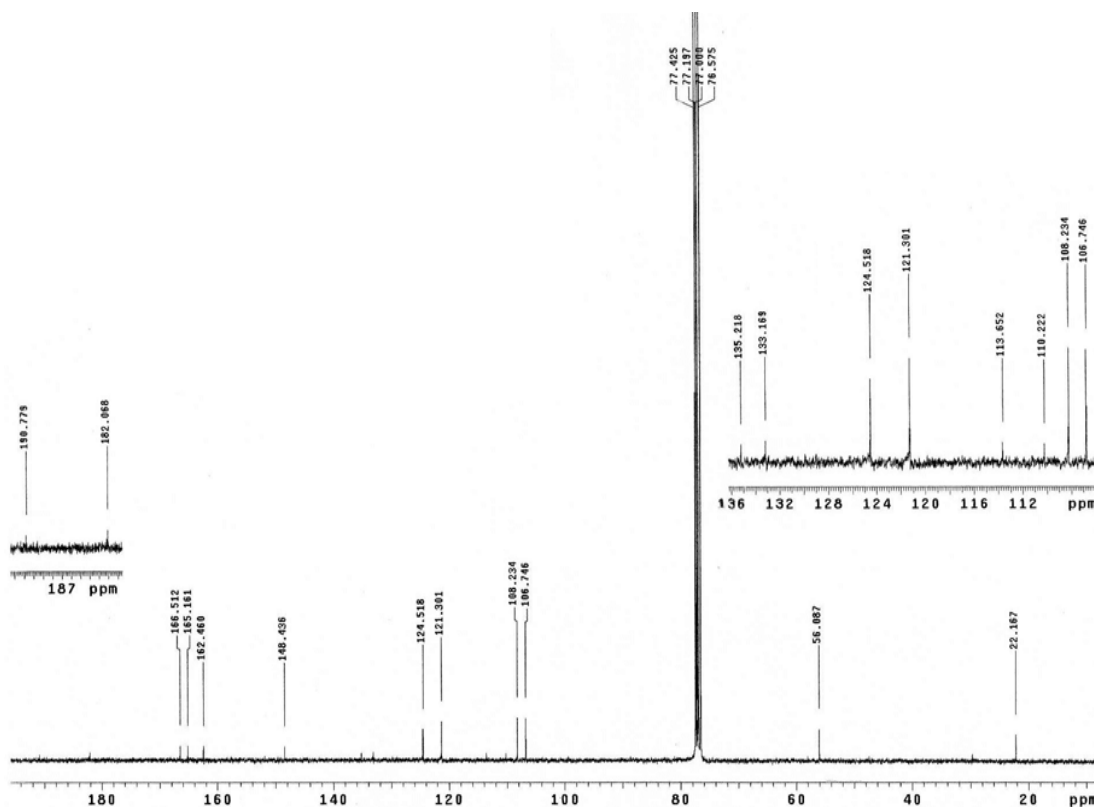


Figura 4S. Espectro de RMN ^{13}C de **2**, 75 MHz, CDCl_3

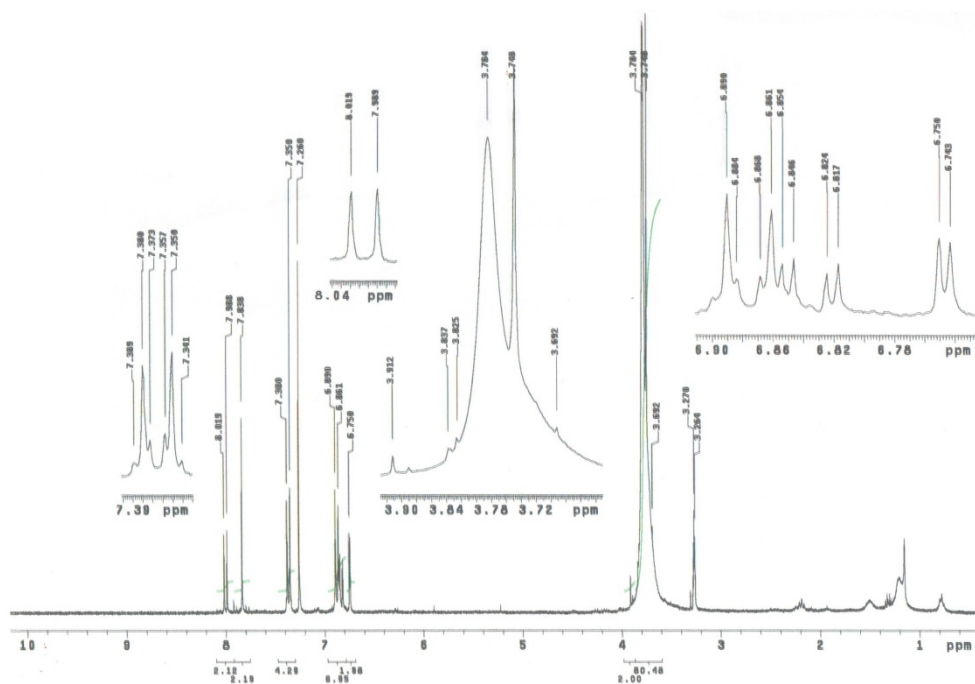


Figura 5S. Espectro de RMN ^1H de **3**, 300 MHz, CDCl_3 + gotas CD_3OD

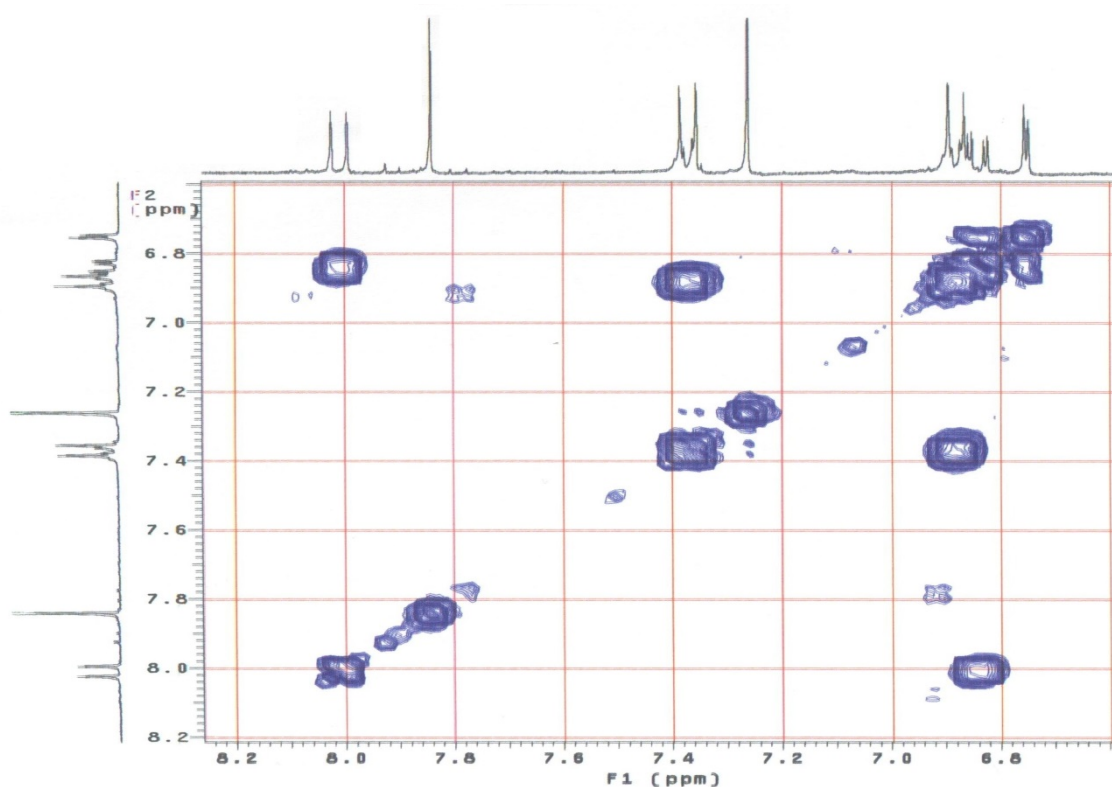


Figura 6S. Mapa de correlação homonuclear COSY - $^1\text{H} \times ^1\text{H}$ de **3**, 300 MHz, CDCl_3 + gotas de CD_3OD

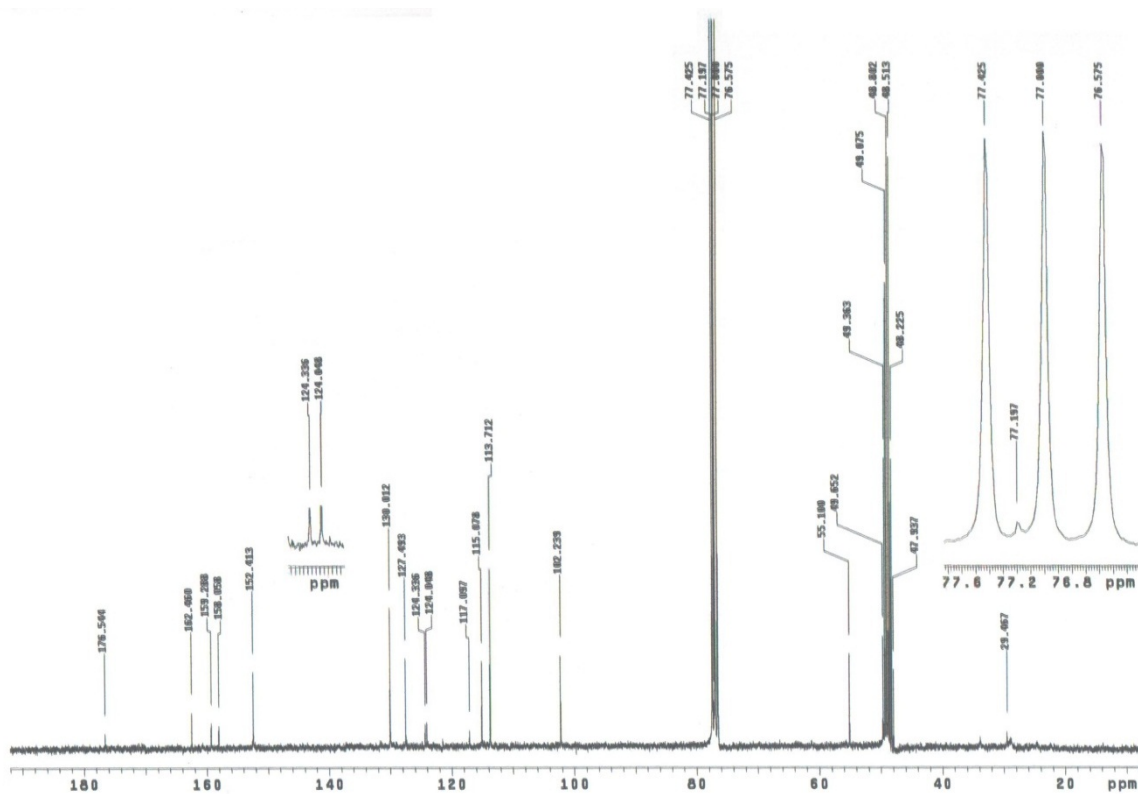


Figura 7S. Espectro de RMN ^{13}C de **3**, 75 MHz, CDCl_3 + gotas CD_3OD

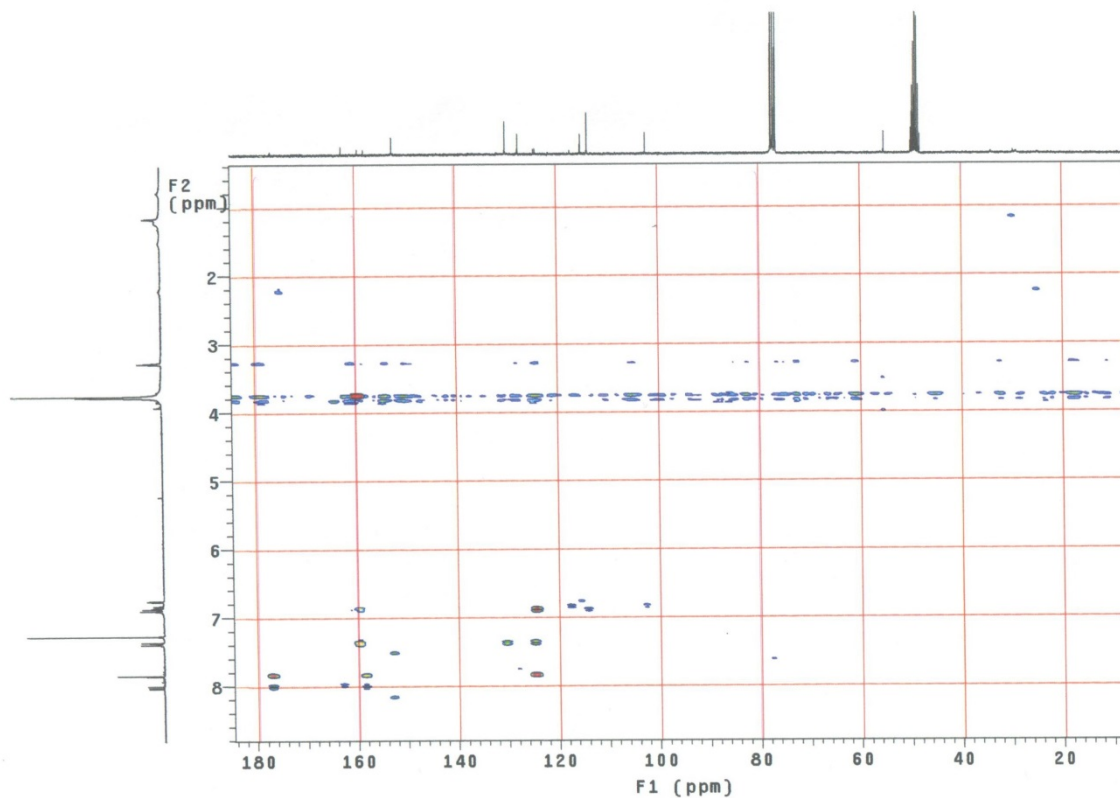


Figura 8S. Mapa de correlação heteronuclear HMBC de **3**, ^1H : 300 MHz, ^{13}C : 75 MHz, CDCl_3 + gotas de CD_3OD

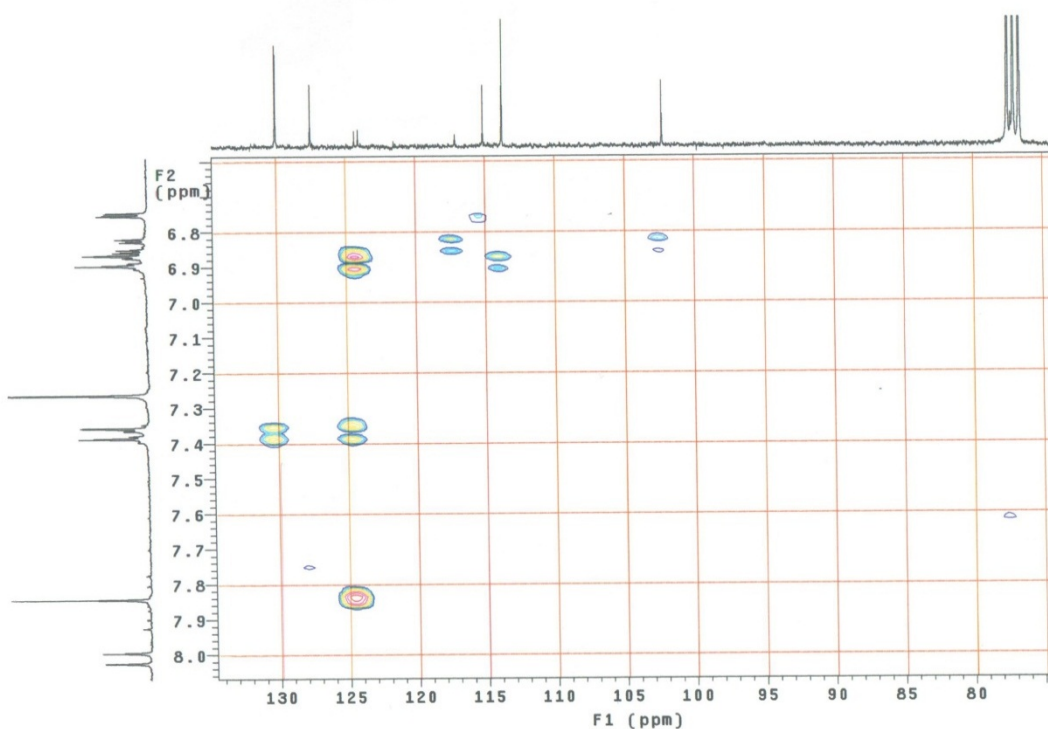


Figura 9S. Expansão 1 do mapa de correlação heteronuclear HMBC de **3**, ^1H : 300 MHz, ^{13}C : 75 MHz, CDCl_3 + gotas de CD_3OD , na região de (6,6-8,1 ppm) x (75,0-135,0 ppm)

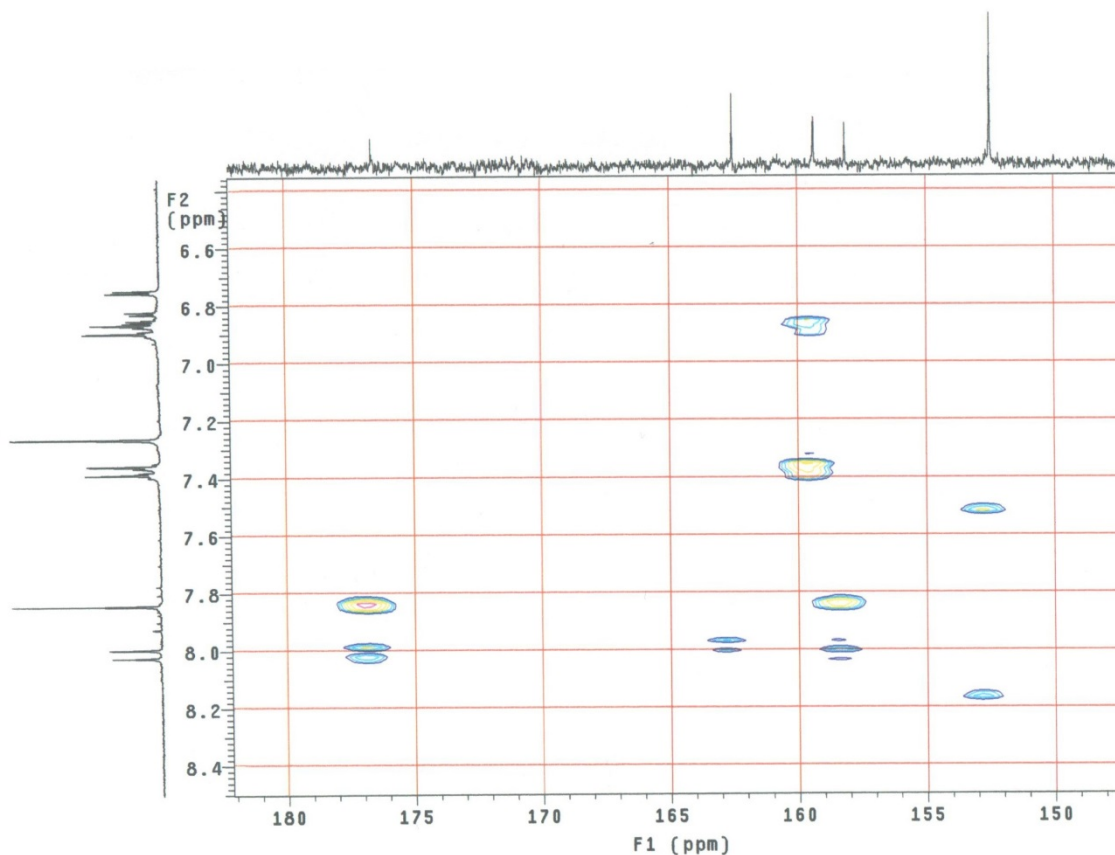


Figura 10S. Expansão 2 do mapa de correlação heteronuclear HMBC de **3**, ^1H : 300 MHz, ^{13}C : 75 MHz, CDCl_3 + gotas de CD_3OD , na região de (6,5-8,4 ppm) x (146,0-184,0 ppm)

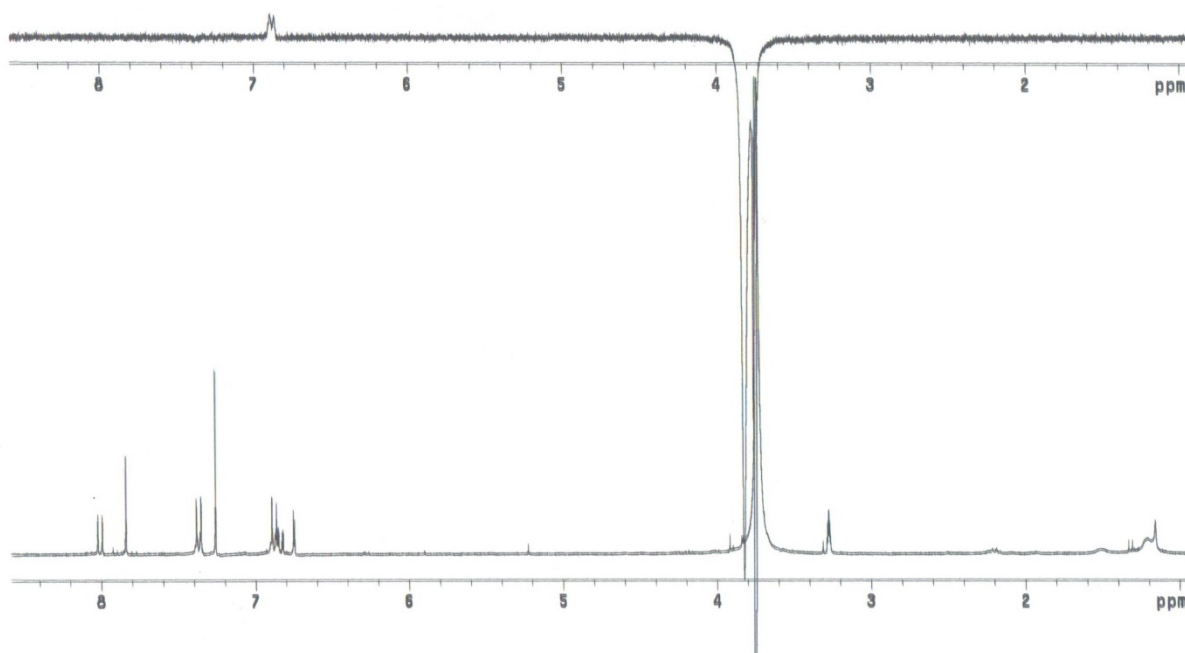


Figura 11S. Espectro de NOE diferencial ao irradiar os hidrogênios do grupo metoxílico (δ_H 3,75) de **3**, 300 MHz, $CDCl_3$ + gotas de CD_3OD

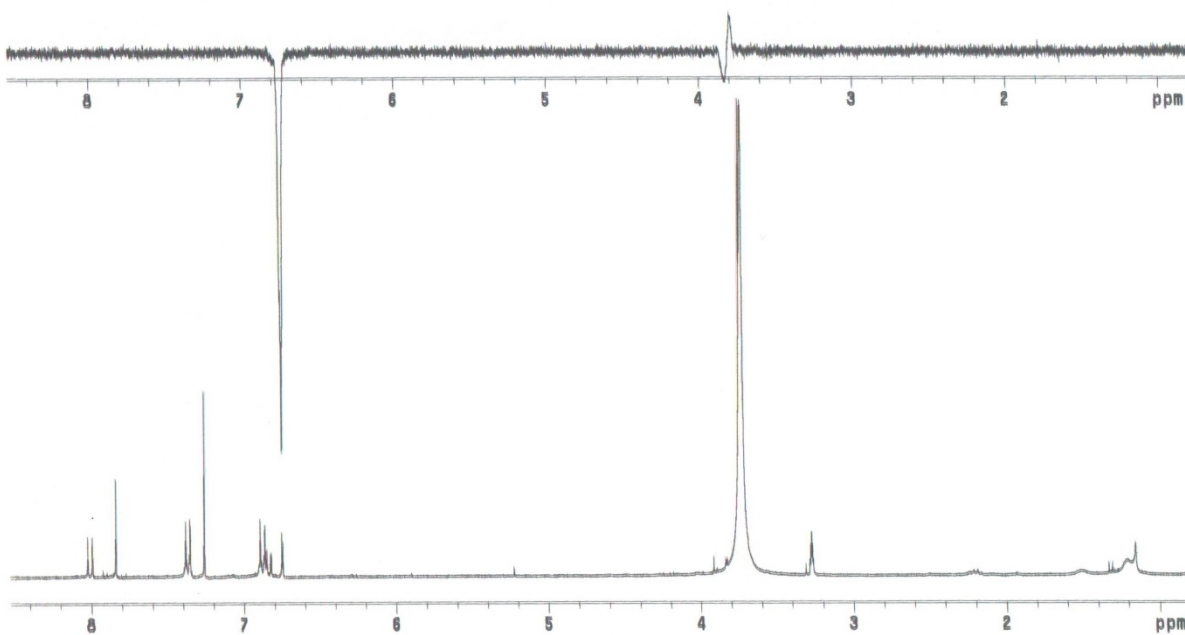


Figura 12S. Espectro de NOE diferencial ao irradiar o duplete em δ_H 6,87 ($H-3'/5'$) de **3**, 300 MHz, $CDCl_3$ + gotas de CD_3OD

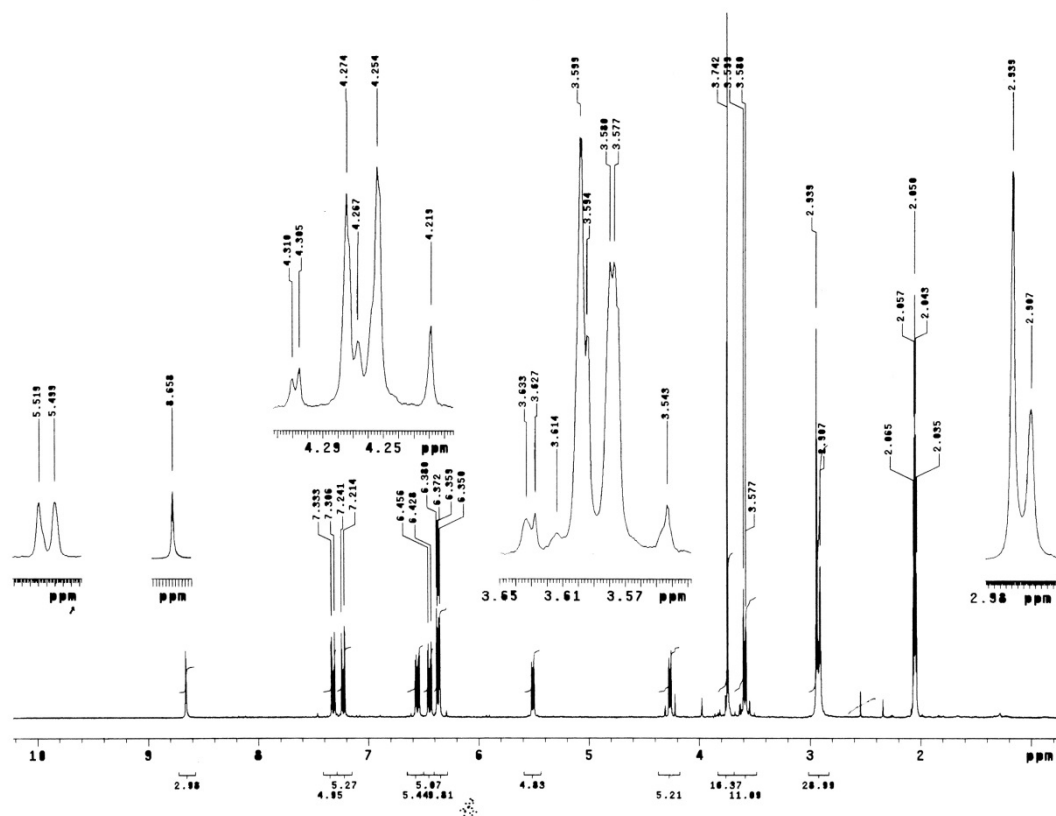


Figura 13S. Espectro de RMN ^1H de **4**, 300 MHz, acetona d_6

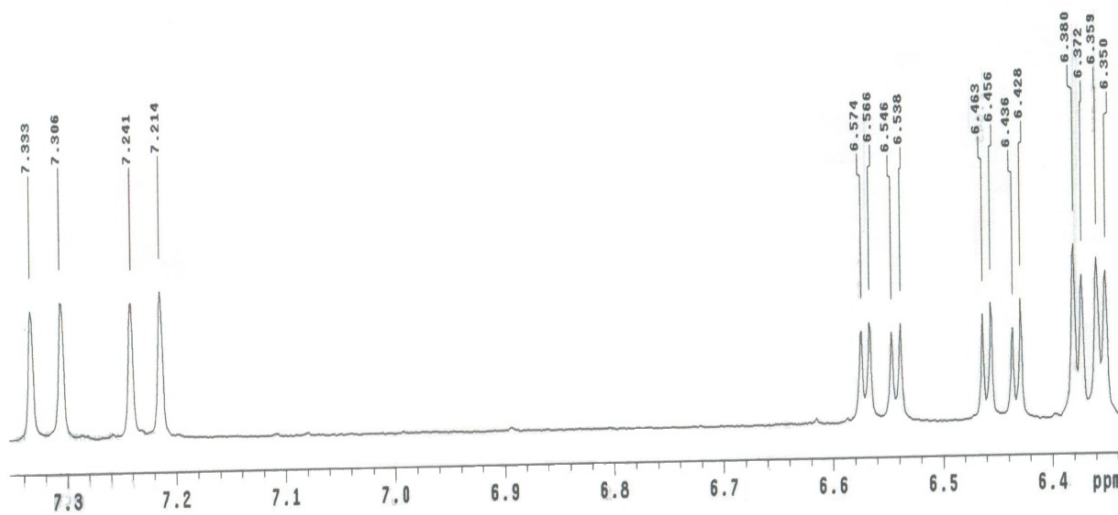


Figura 14S. Expansão do espectro de RMN ^1H de **4**, 300 MHz, acetona d_6

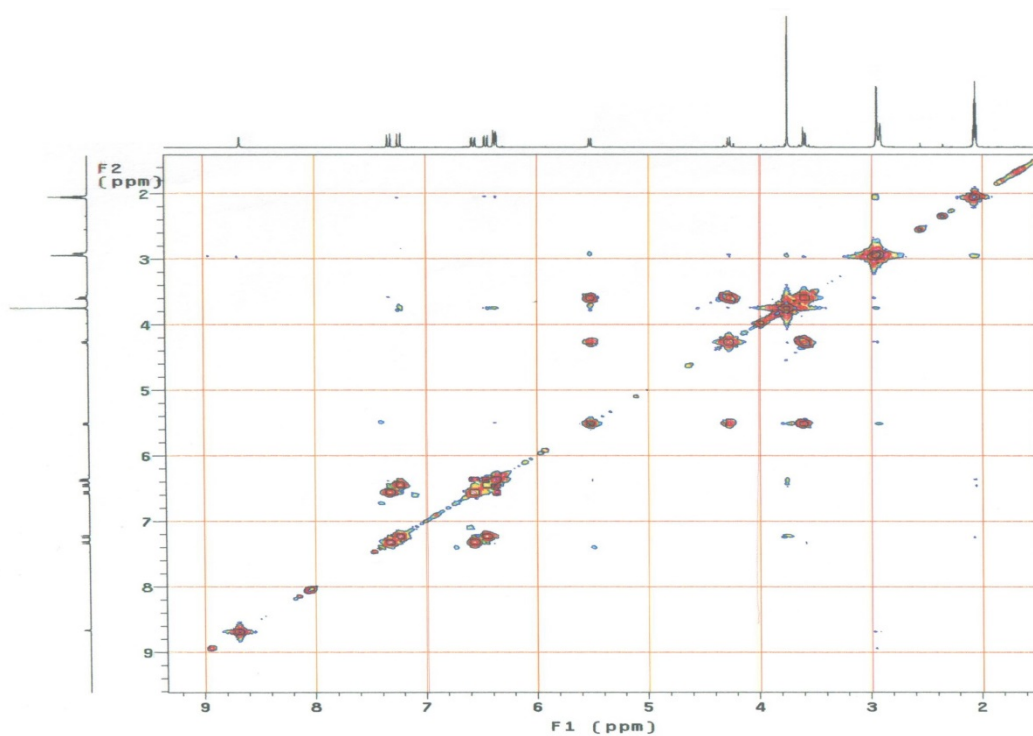


Figura 15S. Mapa de correlação homonuclear COSY - $^1\text{H} \times ^1\text{H}$ de **4**, 300 MHz, acetona d_6

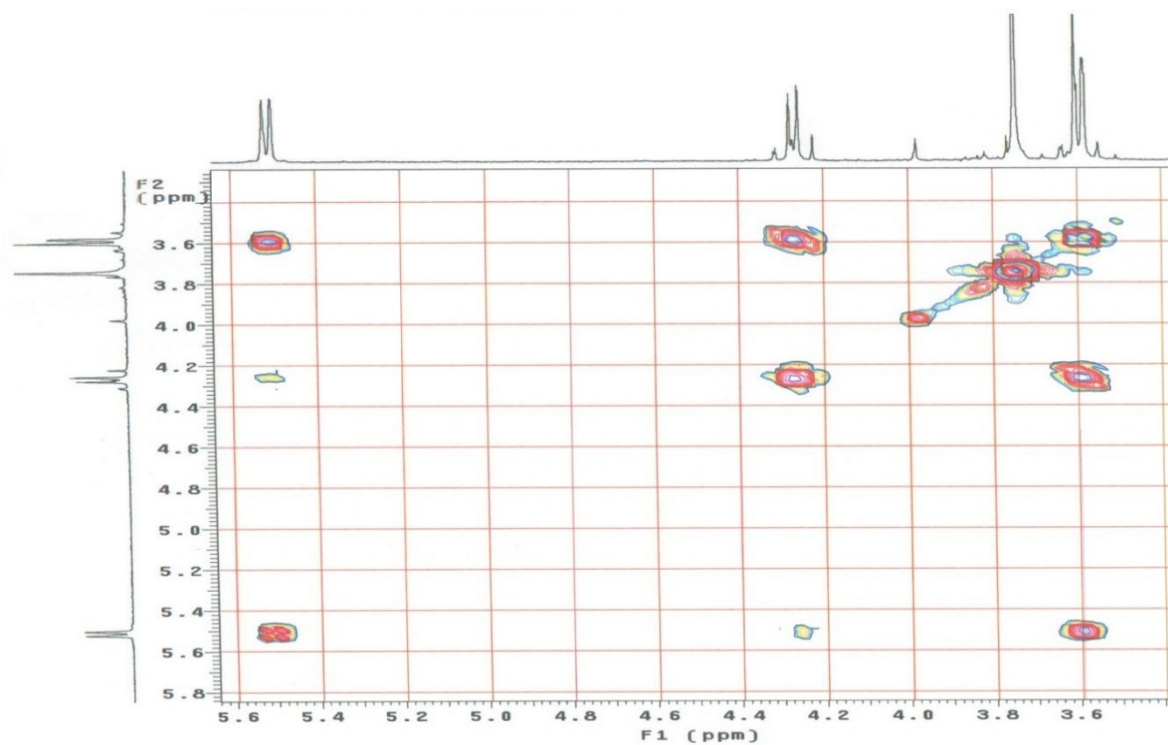


Figura 16S. Expansão do mapa de correlação homonuclear COSY - $^1\text{H} \times ^1\text{H}$ de **4**, 300 MHz, acetona d_6

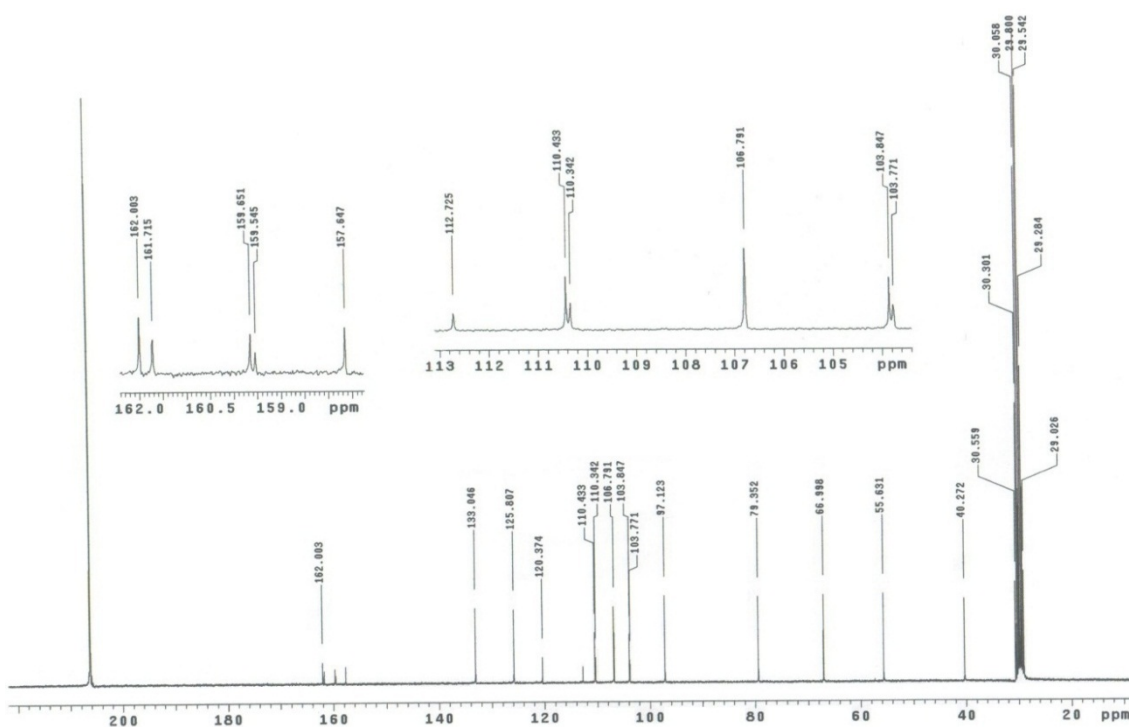


Figura 17S. Espectro de RMN ^{13}C de **4**, 75 MHz, acetona d_6

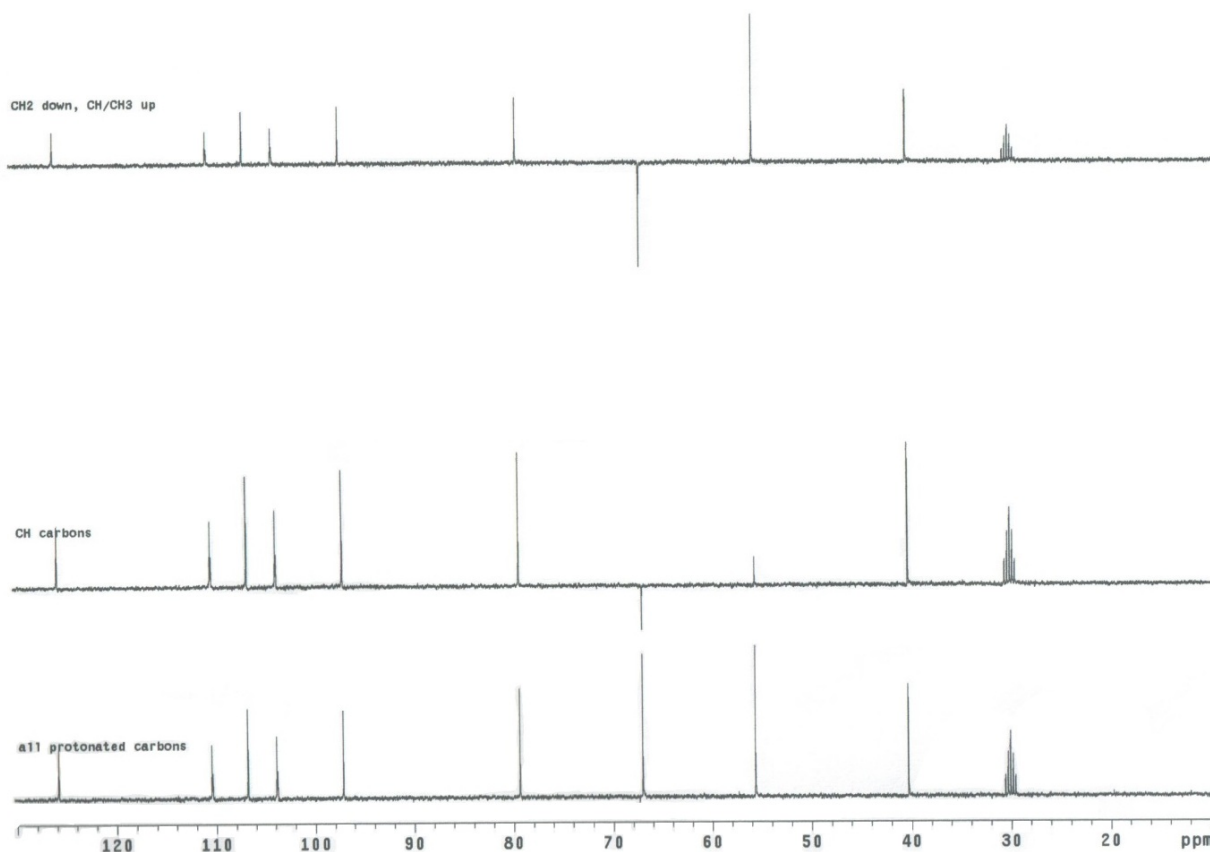


Figura 18S. Espectro de DEPT de **4**, ^1H : 300 MHz, ^{13}C : 75 MHz, acetona d_6

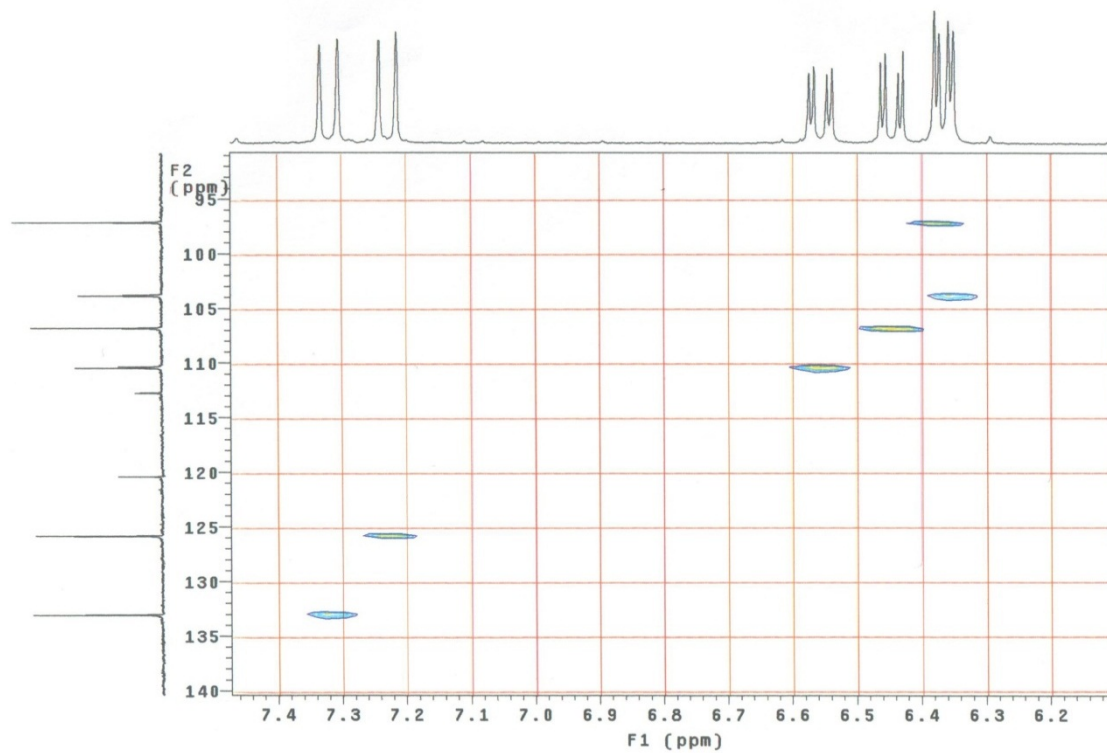


Figura 19S. Mapa de correlação heteronuclear HETCOR de **4**, ^1H : 300 MHz, ^{13}C : 75 MHz, acetona d_6

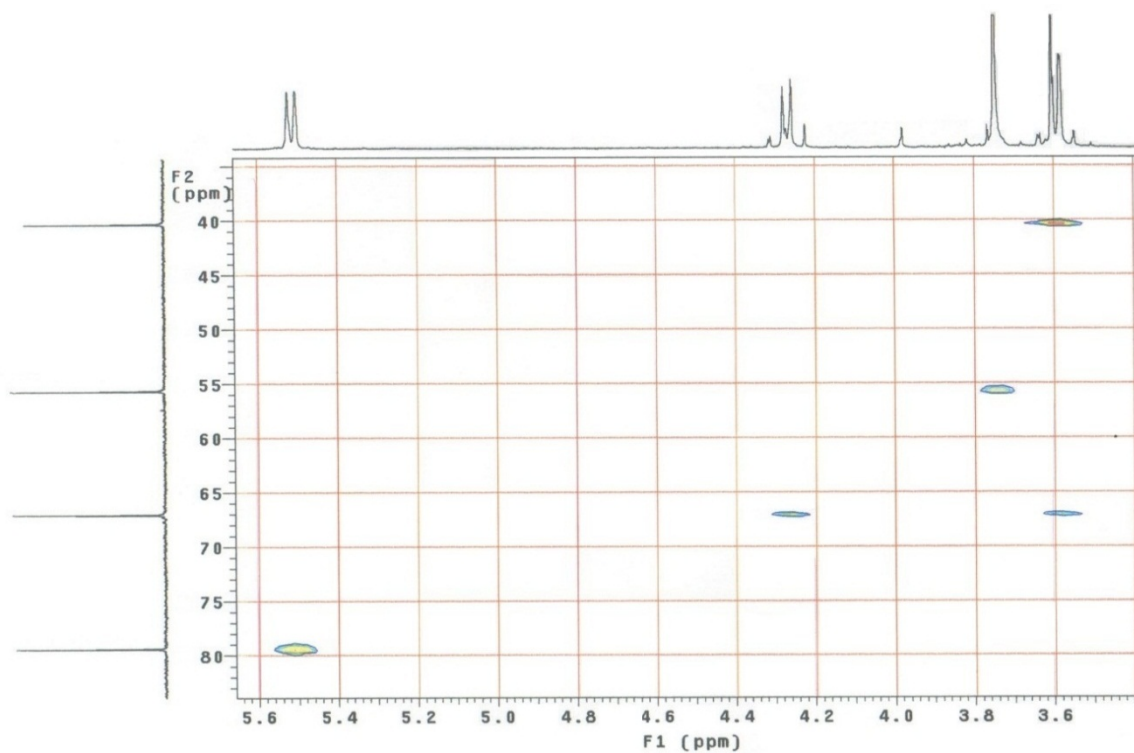


Figura 20S. Expansão do mapa de correlação heteronuclear HETCOR de **4**, ^1H : 300 MHz, ^{13}C : 75 MHz, acetona d_6

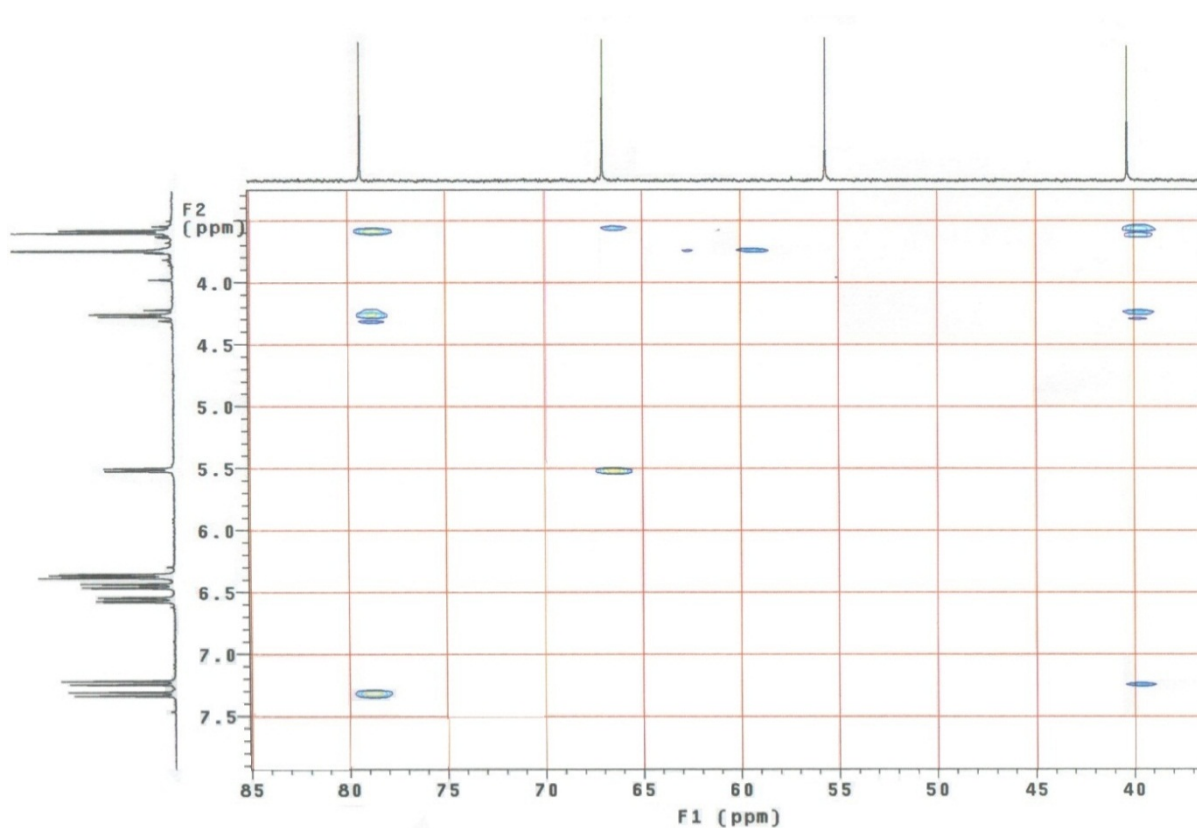


Figura 21S. Expansão 1 do mapa de correlação heteronuclear HMBC de **4**, ^1H : 300 MHz, ^{13}C : 75 MHz, acetona d_6 , na região de (3,5-8,0 ppm) x (35,0-85,0 ppm)

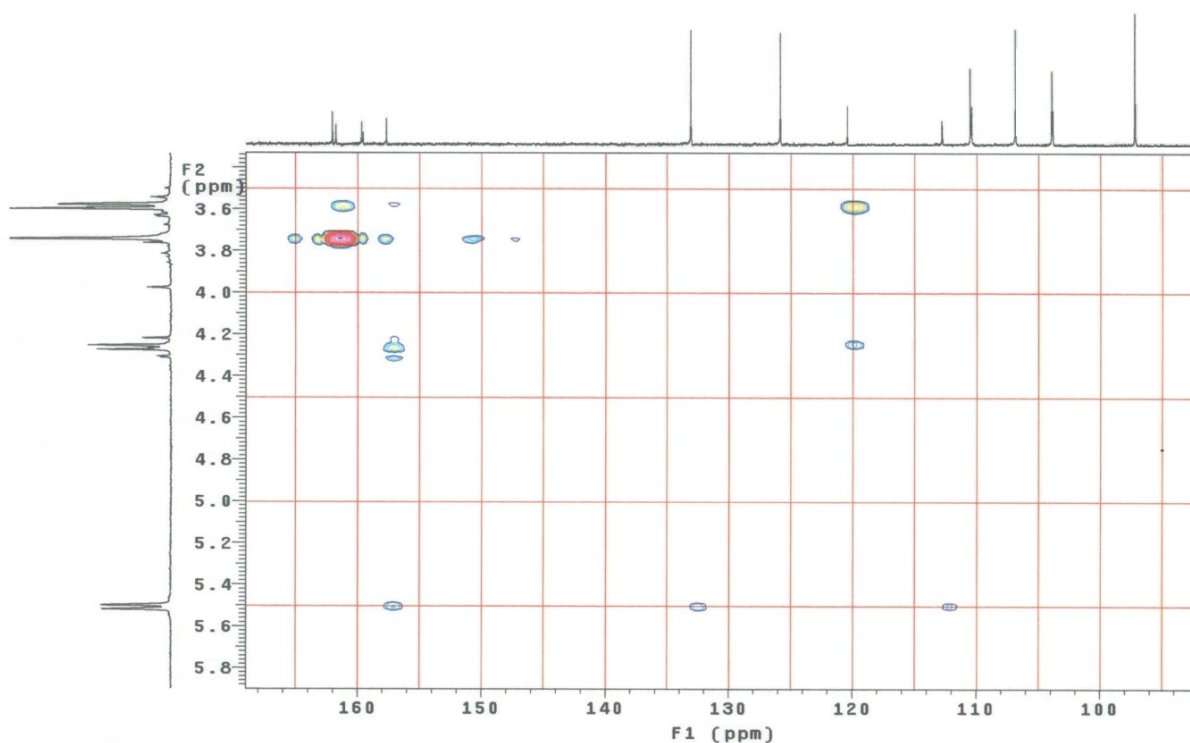


Figura 22S. Expansão 2 do mapa de correlação heteronuclear HMBC de **4**, ^1H : 300 MHz, ^{13}C : 75 MHz, acetona d_6 , na região de (3,4-5,8 ppm) x (95,0-168,0 ppm)

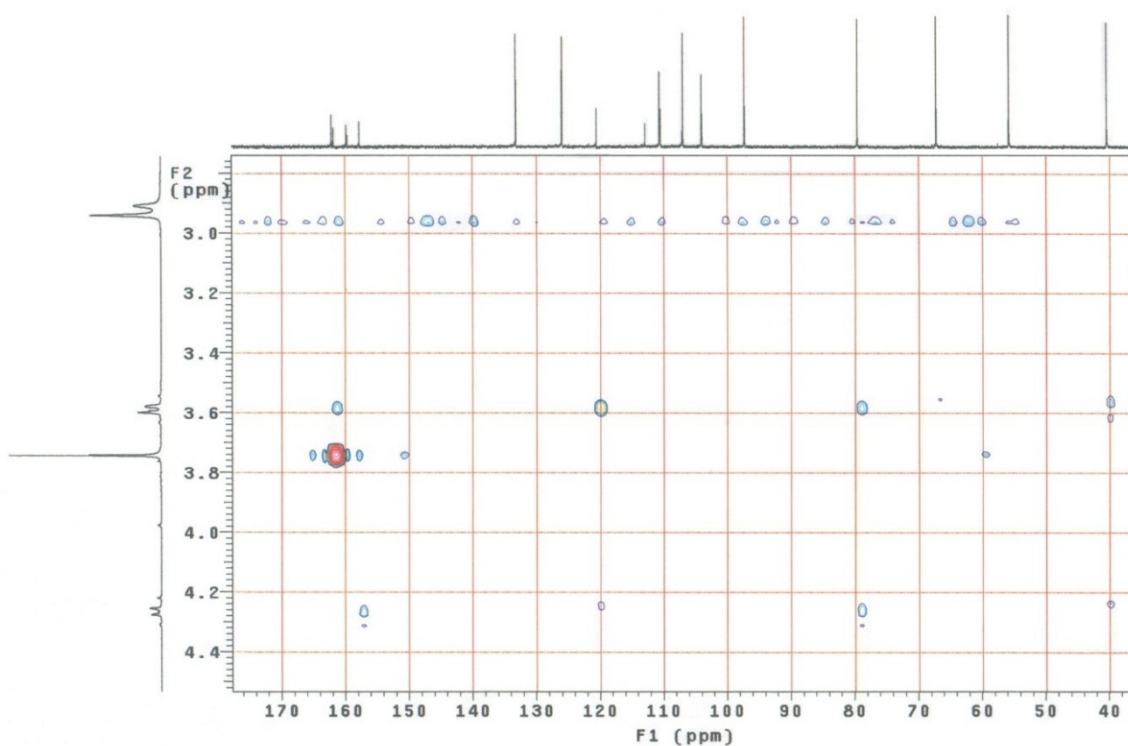


Figura 23S. Expansão 3 do mapa de correlação heteronuclear HMBC de **4**, ^1H : 300 MHz, ^{13}C : 75 MHz, acetona d_6 , na região de (3,1-4,5 ppm) x (38,0-176,0 ppm)

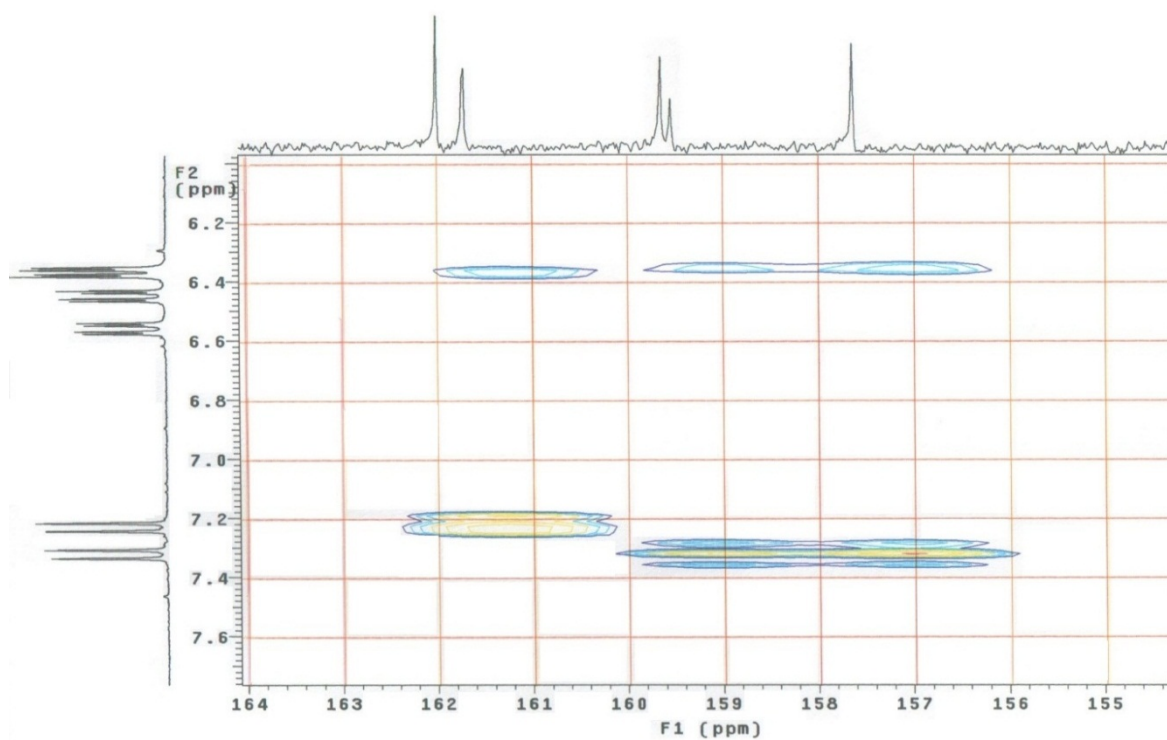


Figura 24S. Expansão 4 do mapa de correlação heteronuclear HMBC de **4**, ^1H : 300 MHz, ^{13}C : 75 MHz, acetona d_6 , na região de (6,1-7,7 ppm) x (154,0-164,0 ppm)

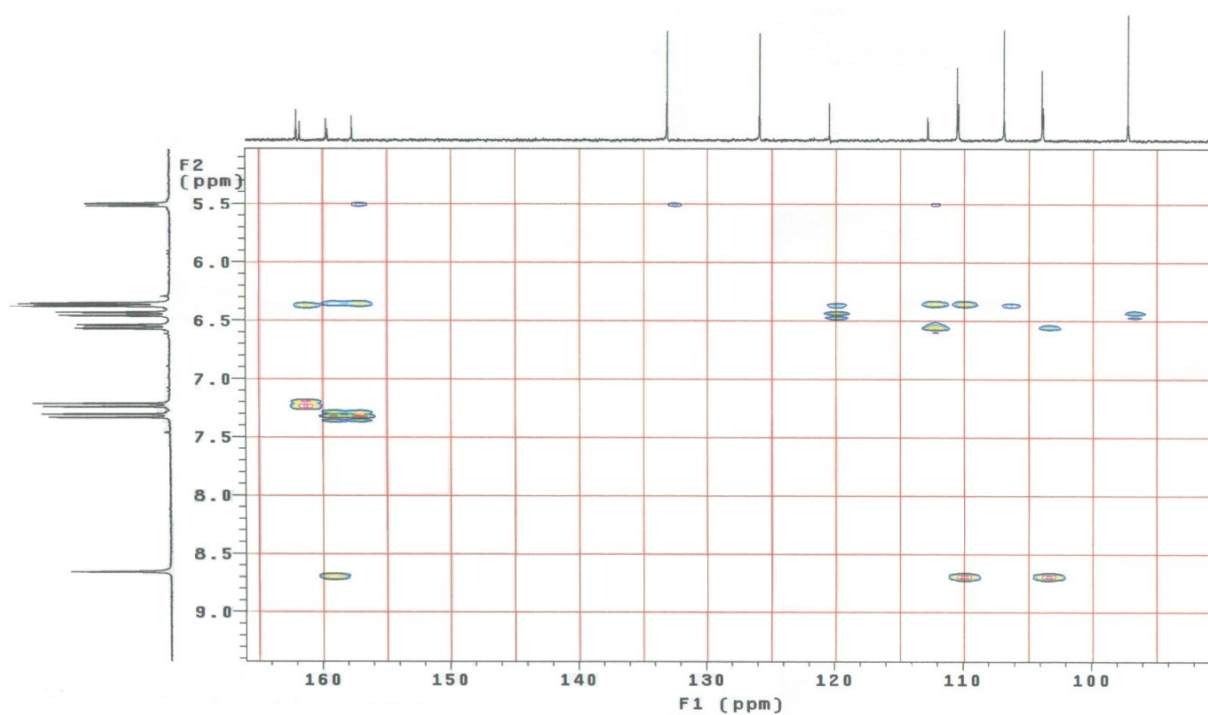


Figura 25S. Expansão 5 do mapa de correlação heteronuclear HMBC de **4**, ^1H : 300 MHz, ^{13}C : 75 MHz, acetona d_6 , na região de (5,4-9,4 ppm) x (90,0-164,0 ppm)

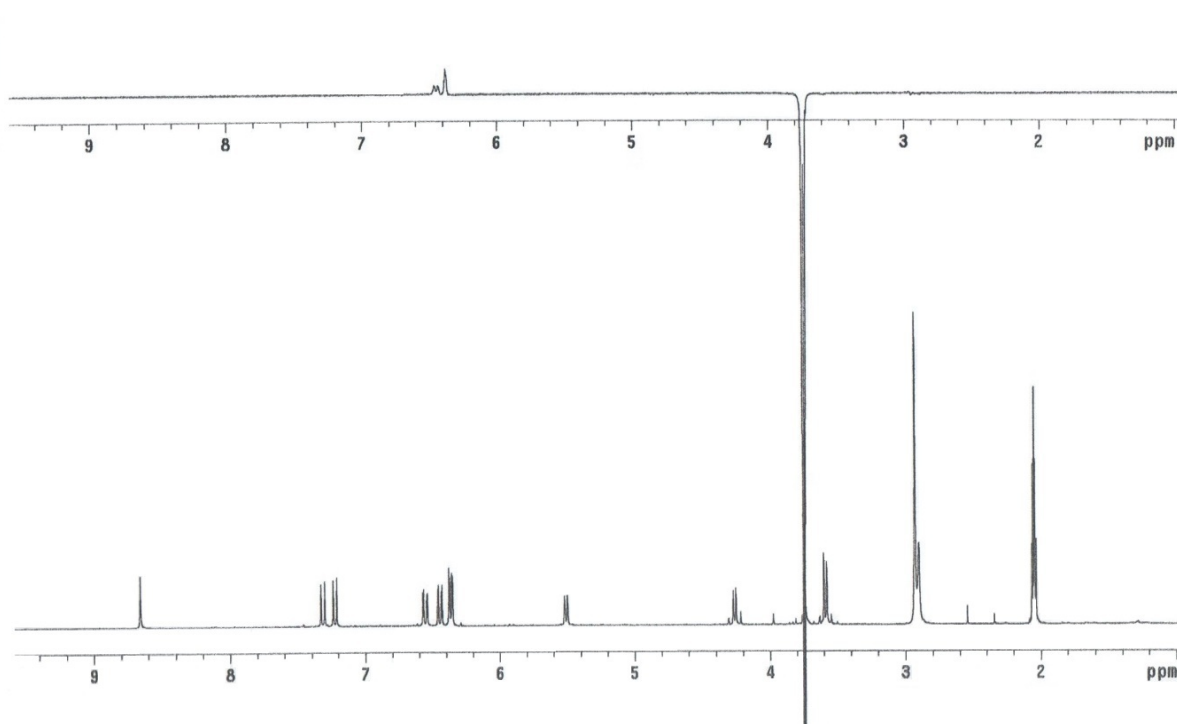


Figura 26S. Espectro de NOE diferencial ao irradiar os hidrogênios do grupo metoxílico (δ_{H} 3,74) de **4**, 300 MHz, CD_3OD

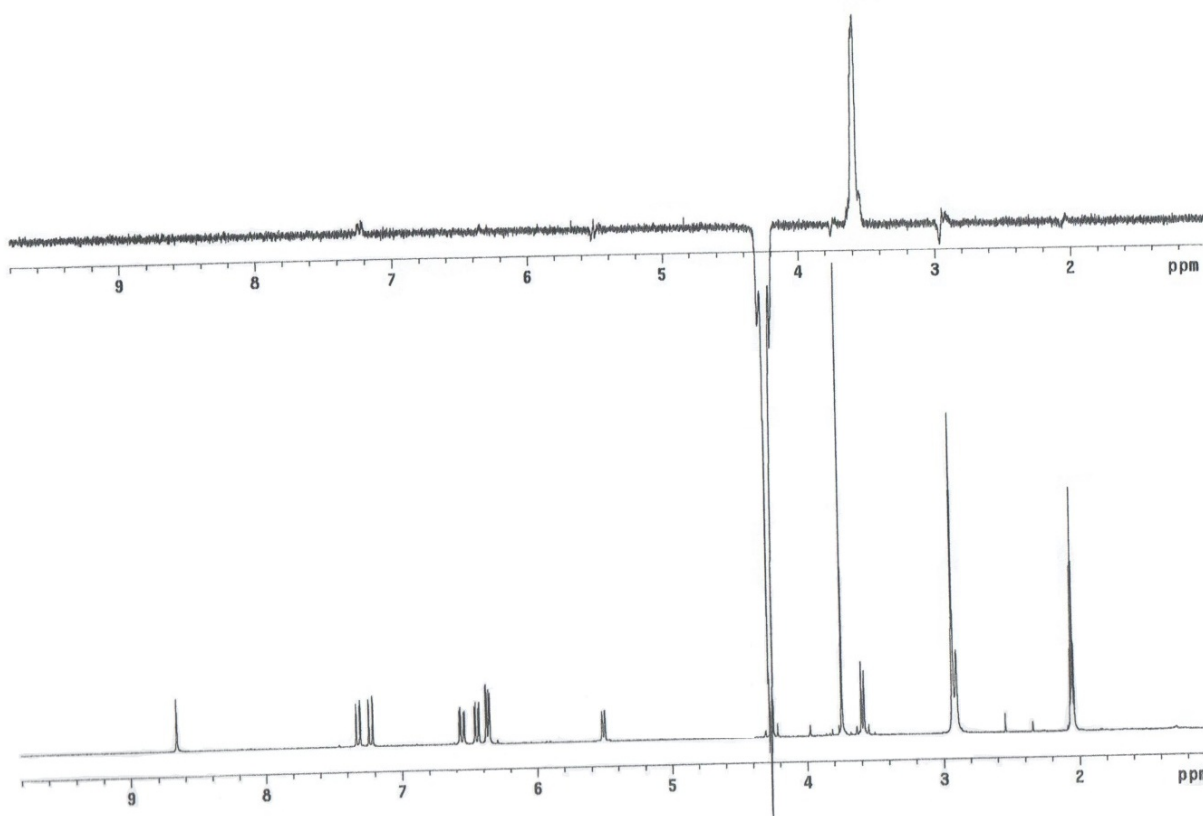


Figura 27S. Espectro de NOE diferencial ao irradiar o sinal em δ_H 4,26 ($H-2\alpha_{axial}$) de **4**, 300 MHz, CD_3OD

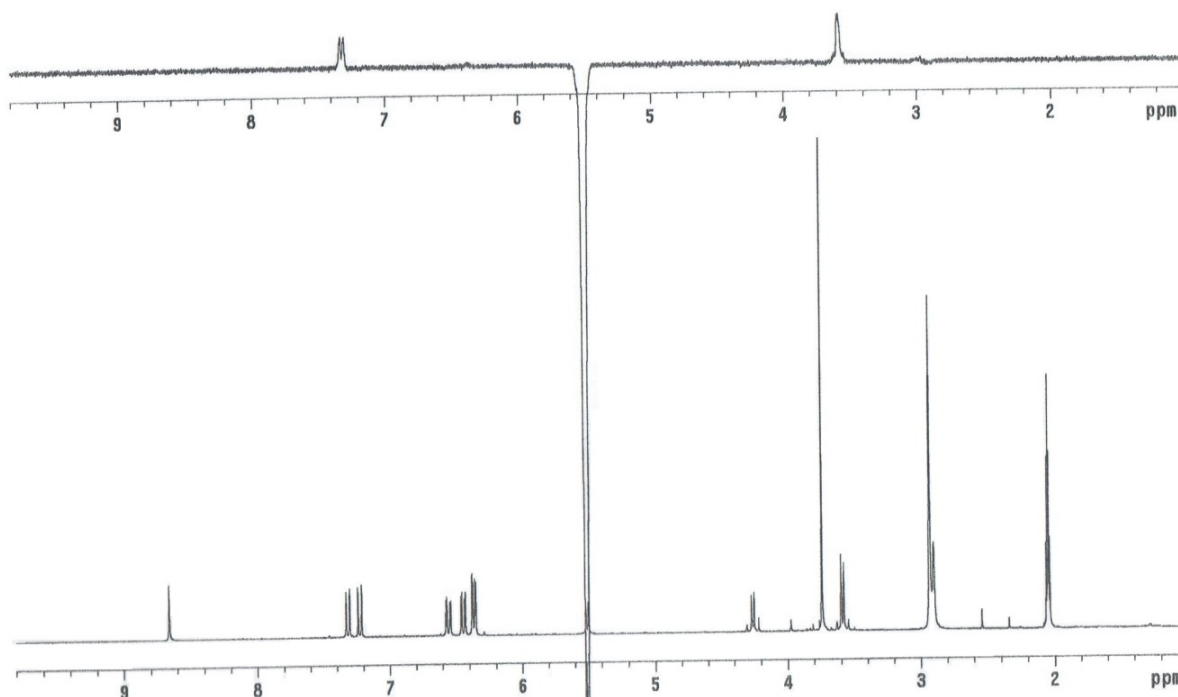


Figura 28S. Espectro de NOE diferencial ao irradiar o sinal em δ_H 5,50 ($H-4_{equatorial}$) de **4**, 300 MHz, CD_3OD